- 3. *HAMAMATSU PHOTONICS K. K.*, *Solid State Division*. Characteristics and use of FTT-CCD area image sensor. Technical information. 2003.
- 4. *Micron Technology Inc.* 1/2-INCH CMOS ACTIVEPIXEL DIGITAL IMAGE SENSOR MT9V403. 2004.
- 5. Sony. Diagonal 8mm (Type 1/2) Progressive Scan CCD Solid-state Image Sensor ICX415AL with Square Pixel for CCIR B/W Cameras. 2004.
- 6. *НИИ «Электрон»*. Датчик оптического излучения P22. Технический паспорт. Санкт-Петербург, 2004.

АЛГОРИТМ МЕНДЕНХОЛЛА-ВЕЛЛЕРА ДЛЯ РАСЧЕТА УГЛА РАССЕЯНИЯ ЗАРЯЖЕННЫХ ЧАСТИЦ В СЦМ

А. А. Масленков

1. ВВЕДЕНИЕ

Одним из основных методов численного моделирования взаимодействия заряженных частиц с твердым телом является метод Монте-Карло (МК). Наиболее известными программами, реализующими метод МК в применении к задачам ионного легирования, являются TRIM(SRIM) [1] и Geant4 [2]. В основе любой программы, моделирующей движение заряженной частицы в твердом теле, лежат физические приближения, упрощающие описание процессов взаимодействия заряженных частиц с электронной и ядерной подсистемами мишени. Одним из таких упрощений является расчет угла рассеяния (Θ) в системе центра масс (СЦМ) по "магической формуле" (МФ), предложенной Бирзаком с соавторами [3] более 25 лет назад.. Применение МФ связано со сложностью многократного расчета классического интеграла рассеяния при использовании реалистичных потенциалов ион-атомного взаимодействия. Физика TRIMалгоритма заложена в то время, когда быстродействие компьютеров было весьма ограниченным, и многие прямые расчеты заменялись подгоночными формулами для экономии расчетного времени. Поэтому сегодня необходим тщательный пересмотр давних упрощений и дополнение пакета более строгими физическими формулами.

Целью настоящей работы является тестирование и модернизация предложенного в [4] алгоритма расчета Θ для различных потенциалов ион-атомного взаимодействия и сравнение результатов вычислений с аналогичными данными, полученными с использованием МФ.

2. МЕТОДИКА ЧИСЛЕННОГО ЭКСПЕРИМЕНТА

Основные приближения и расчетные формулы, используемые при вычислении угла рассеяния по методу Менденхолла-Веллера (МВ) пред-

ставлены в [4]. В программе Scattering заменена формула для расчета угла рассеяния $\Theta = \pi \left(1 - \frac{\beta \alpha(\epsilon, \beta)}{x_0}\right)$ на формулу из алгоритма TRIM: $\sin\left(\theta_C/2\right) = \cos\left(\pi \beta a/2x_0\right) \,.$

Было замечено, ссылаясь на первое равенство, что для малых углов потеря в точности проистекает из разности двух членов с величиной около единицы. Мной была разработана и написана программа Scattering, которая позволяет рассчитать угол рассеяния по «магической формуле» и методу МВ. Входными данными являются безразмерные значения прицельного параметра и энергии заряженной частицы. В качестве выходных параметров имеем безразмерную величину расстояния наибольшего сближения и угол рассеяния в СЦМ, представленный в градусах и радианах.

3. РЕЗУЛЬТАТЫ И ОБСУЖДЕНИЕ

Для проверки полной адекватности расчетов угла рассеяния и расстояния наибольшего сближения, программа Scattering была протестирована для всех случаев, представленных в [4], где приведена таблица для углов рассеяния в СЦМ в зависимости от приведенной энергии и прицельного параметра. Для сравнения расчетов Θ по «магической» формуле МФ и МВ было решено расширить таблицу, приведенную в [4], добавив в нее расчеты для ФЭМ, ФЭУ, ФЭС-Кг и по МФ (также для трех типов потенциалов). Результаты расчетов угла рассеяния в СЦМ приведены в *таблице* 1.

Первые две колонки содержат входные данные. В четвертую, пятую и шестую колонки внесены углы рассеяния в СЦМ, рассчитанные по методу Менденхолла-Веллера для трех функций экранирования. Соответственно, седьмая, восьмая и девятая колонки содержат углы, рассчитанные по «магической» формуле.

Сначала надо отметить, что в некоторых случаях невозможны расчеты по МФ (соответствующие графы помечены как «-»). Видно, что такие расчеты отсутствуют для следующих пар: значение приведенного прицельного параметра меньше значения приведенной энергии. За исключением единственного случая — когда для расчета по МФ используется ФЭУ, предложенная авторами МФ [3]. Объяснение такого неоднозначного поведения МФ требует ее дальнейшего исследования. Углы, представленные в таблице 1 в четвертой колонке являются наиболее близкими к экспериментальным, как было указано в [4]. Поэтому целесообразно оценивать отклонения всех остальных рассчитанных углов от значений углов, представленных в четвертой колонке. Видно, что значения углов в

четвертой (ФЭМ) и шестой (ФЭС-Кг), седьмой (ФЭМ) и девятой (ФЭС-Кг) колонках очень близки между собой. При сравнении этих расчетов с универсальным потенциалом видно, что в некоторых случаях имеем сильное отклонение от ФЭМ. Было замечено, что «магическая» формула дает близкие к экспериментальным результаты лишь при больших углах отклонения, т.е. при обратном рассеянии.

Существует немало литературы, демонстрирующей экспериментальные угловые распределения проникающих через пленку ионов. Так, например, в работе [5] представлены данные проведенного эксперимента и моделирования по рассеянию низкоэнергетических протонов на алюминиевой фольге толщиной 20нм. Энергия протонов 10 кэВ.

Для сравнения экспериментальных данных с теорией была разработана программа Transmit. Программа SRIM 2003 выдает результаты углов рассеяния частиц в файл Transmit.txt. Программа Transmit обрабатывает эти данные и по ним строит график углового распределения протонов. Так как в файле выведены значения косинусов углов рассеяния, то программа Transmit пересчитывает их в значения углов в градусах. Для сортировки полученных данных был использован метод сортировки вставкой. Отсортированный массив представлен в виде графика (рис 1.).

| | β | x_{O} | Θ, | Θ, | Θ, C- | $\Theta_{ m M\Phi}$ | $\Theta_{\mathrm{M}\Phi}$, | Θ _{ΜΦ} , C- |
|---------------|------|---------|--------|--------|--------|---------------------|-----------------------------|----------------------|
| \mathcal{E} | P | ΦЭМ | ФЭМ | ФЭУ | Сг | ,ФЭМ | ФЭУ | Сг |
| 0,00 | 0,5 | 11,416 | 173,61 | 175,02 | 173,01 | 173,210 | 174,889 | 173,584 |
| 1 | | | 4 | 2 | 3 | | | |
| 0,00 | 20 | 20,389 | 6,943 | 24,410 | 5,782 | 22,213 | 40,723 | 16,065 |
| 1 | | | | | | | | |
| 0,1 | 0,2 | 2,209 | 163,91 | 167,51 | 164,36 | 162,106 | 169,538 | 169,104 |
| | | | 3 | 9 | 7 | | | |
| 0,1 | 0,05 | 2,201 | 175,96 | 176,87 | 176,07 | 173,500 | 179,682 | 178,637 |
| | | | 2 | 2 | 7 | | | |
| 0,1 | 8 | 8,153 | 4,756 | 8,826 | 3,621 | 19,671 | 26,785 | 14,958 |
| 1,0 | 0,85 | 1,076 | 35,682 | 46,768 | 37,083 | - | - | - |
| 1,0 | 0,9 | 1,118 | 33,256 | 43,938 | 34,589 | - | 63,078 | 28,830 |
| 1,0 | 5 | 5,039 | 1,715 | 2,921 | 1,540 | 13,202 | 17,704 | 11,307 |
| 5,0 | 0,5 | 0,561 | 16,797 | 22,080 | 17,633 | - | - | - |
| 5,0 | 10 | 10,001 | 0,069 | 0,126 | 0,056 | 2,390 | 3,777 | 1,964 |
| 7,5 | 7 | 7,002 | 0,120 | 0,203 | 0,099 | - | - | - |
| 7,5 | 8 | 8,002 | 0,088 | 0,151 | 0,072 | 8,178 | 12,054 | 6,901 |
| 10,0 | 0,02 | 0,095 | 123,54 | 133,92 | 124,41 | - | - | - |
| | 5 | | 5 | 2 | 7 | | | |
| 10,0 | 1 | 1,021 | 3,444 | 4,791 | 3,614 | - | - | - |

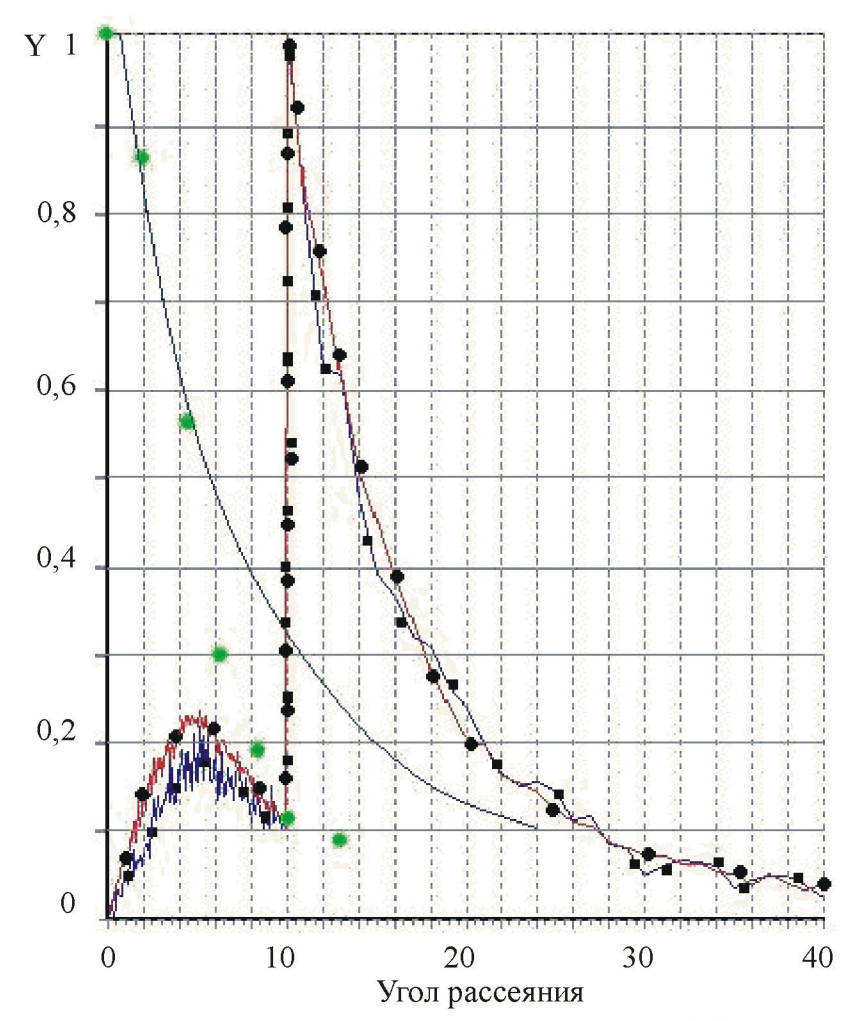


Рис. 1. Нормированное угловое распределение (Y) протонов с энергией Е=10кэВ, прошедших алюминиевую пленку толщиной 20 нм. Точками обозначены экспериментальные данные. Кривая, помеченная кружками распределение для 10⁵ событий, квадратами для 10⁴ событий. Сплошная линия аппроксимация полиномом 10 порядка расчета через импульсное приближение.

Отчетливо видно, как отличается профиль кривой, помеченной круж-OT кривой, ками помеченной квадратами. На первой отсутствуют плечи и изломы, характерные для графиизображающе- 10^{4} событий. Кроме того, существует видимое расхождение peзультатов программы SRIM 2003 с экспериментальными данными и теоретической аппроксимацией чеимпульсное приближение.

4. ЗАКЛЮЧЕНИЕ

1. Разработана процедура и написана программа SCATTERING для

численного расчета угла рассеяния заряженных частиц в СЦМ. В дальнейшем эту программу можно использовать для работы с различными пакетами программ, реализующих метод Монте-Карло.

2. Анализ углов рассеяния при прохождении протонов через тонкие пленки показал, что при использовании программы SRIM 2003 полученные профили углового распределения существенно отличаются от экспериментальных (рис 1). Это связано с некорректным расчетом угла рассеяния при использовании приближений, заложенных в пакете SRIM 2003.

Литература

1. WWW.SRIM.ORG